

مطالعه کانه‌زائی آهن بغل‌بید با استفاده از شواهد زمین‌شناسی، کانی‌شناسی و ژئوشیمی، سنگان خواف در شمال خاوری ایران

آسیه سربوزی حسین‌آبادی^۱، محمد بومری^{۲*} و عباس گل محمدی^۳

۱. کارشناسی ارشد گروه زمین‌شناسی، دانشگاه سیستان و بلوچستان

۲. دانشیار گروه زمین‌شناسی دانشگاه سیستان و بلوچستان

۳. دکترا زمین‌شناسی اقتصادی، سازمان زمین‌شناسی و اکتشافات معدنی ایران

تاریخ دریافت: ۹۷/۱۱/۱۹

تاریخ پذیرش: ۹۸/۰۲/۲۸

چکیده

کانه‌زائی آهن بغل‌بید یکی از آنومالی‌های خاوری معدن آهن سنگان است. این منطقه از نظر زمین‌شناسی در بخش شمال خاوری‌بلوک لوت واقع شده است. در این منطقه واحدهای دگرگونی و رسوبی پالاآزوئیک و مزواآزوئیک همچون شیست، فیلیت و ماسه‌سنگ در کنار واحدهای آذرین ترشیاری و سنگ‌های رسوبی نئوژن قرار گرفته‌اند. کانه‌زائی آهن با تشکیل هماتیت در بخش بالای یک واحد برش ولکانیکی به درازای بیش از یک کیلومتر رخ داده است. سنگ‌های فرودیواره عمده‌تر برش، لیتیک توف و ماسه‌سنگ و سنگ‌های فرودیواره دایک‌های نیمه‌زرف گرانودیوریتی می‌باشند. هماتیت در فضاهای خالی بین برش‌ها جای گرفته است که نشان‌دهنده دیرزاد بودن کانه‌زائی است. باریت، کلسیت و کوارتنیز در شکستگی‌ها و فضاهای خالی افق آهن دار تشکیل شده است. علاوه بر آهن، کانه‌زائی مس نیز به صورت رگه‌های کوالکوپیریت و مالاکیت در سنگ‌های فرودیواره تشکیل شده است. مقادیر اکسید آهن در افق آهن دار از ۸ تا ۵۵ درصد وزنی متغیر است. در این افق، میزان کروم، وانادیوم و فسفر کم می‌باشد در حالی که عناصری مثل باریم، آرسنیک، نقره و آنتیموان زیاد می‌باشند، و عناصر LREE و HFSE به ترتیب نسبت به HREE غنی‌شده‌اند. با توجه به مشخصات زمین‌شناسی، کانی‌شناسی و ژئوشیمی، ساخت و بافت، الگوی REE، کانه‌زائی آهن بغل‌بید از نوع گرمابی است. احتمالاً سیالات گرمابی آهن را از سنگ‌های آذرآواری شسته و در بخش برشی که نفوذپذیری بالایی داشته است، حمل و به صورت هماتیت مرکز کرده است.

واژه‌های کلیدی: سنگ‌های آذرآواری، دایک‌های گرانودیوریتی، کانه‌زائی آهن، گرمابی، بغل‌بید، خواف.

مقدمه

آهن بعد از سیلیسیوم و آلومینیوم، سومین فلز فراوان می‌دهد. بنابراین آهن یکی از تشکیل دهنده‌های اصلی اغلب سنگ‌ها می‌باشد و به همین علت تقریباً در اکثر محیط‌ها و کانسارها وجود دارد. رفتار آهن در مagma عمده‌ا

آن بعد از سیلیسیوم و آلومینیوم، سومین فلز فراوان در پوسته زمین می‌باشد. این عنصر جزو عناصر سیدروفیل است و خواص کالکوفیل و لیتوفیل نیز از خود نشان

* نویسنده مرتبط: Boomeri@science.usb.ac.ir

حدود ۲/۵ کیلومتر مربع است و در بین طول‌های جغرافیایی ۵۶° ۲۷' تا ۶۰° ۲۹' و عرض‌های جغرافیایی ۵۰° ۲۶' تا ۳۴° ۲۷' واقع شده است. با توجه به اینکه آنومالی کانه‌زایی آهن بغل بید کمتر مورد مطالعه قرار گرفته شناخت آنها به عنوان ذخایر احتمالی مناسب ضروری است. هدف از این نوشتار بررسی زمین‌شناسی و سنگ‌نگاری محدوده مورد مطالعه و ژئوشیمی دایک‌های گرانودیوریتی و افق آهن دار به منظور بی‌بردن به چگونگی تشکیل کانه‌زایی آهن است.

روش مطالعه

ابتدا نقشه زمین‌شناسی ۱:۲۰۰۰ گستره مورد مطالعه براساس تصاویر ماهواره‌ای، مطالعات صحرائی گستردۀ و پتروگرافی و با استفاده از نرم‌افزار Arc GIS 10 تهیه شده است. برای مطالعات آزمایشگاهی تعداد ۳۰ نمونه مقطع نازک، ۱۰ نمونه مقطع نازک‌صیقلی و دو نمونه صیقلی از سنگ‌ها و کانسنج‌های منطقه تهیه شد. مطالعات سنگ‌نگاری و کانه‌نگاری روی این مقاطع با میکروسکوپ‌های پلاریزه عبوری و انعکاسی نوع المپیوس در دانشگاه سیستان و بلوچستان انجام شد. تعداد شش نمونه از نمونه‌های سالم و کمتر دگرسان شده دایک‌های گرانودیوریتی، ۱۰ نمونه واحد آهن دار و چهار نمونه سنگ‌های میزبان جهت تعیین اکسیدهای عناصر اصلی توسط XRF، و تعداد ۱۰ نمونه واحد آهن دار و سه نمونه از سنگ‌های میزبان جهت تعیین عناصر کمیاب به وسیله ICP-MS و یک نمونه از کانسنج جهت تشخیص کانی‌شناسی به وسیله XRD در مرکز تحقیقات فرآوری مواد معدنی ایران (ایمیدرو) در کرج آنالیز شدند. نام‌گذاری سنگ‌های آذرین براساس بررسی‌های میکروسکوپی و با ملاحظه رده‌بندی IUGS انجام شده است. نمودارهای ژئوشیمیایی عمدتاً با کمک نرم‌افزار GCD kit 4.1 رسم شده است.

زمین‌شناسی سنگ‌آهن سنگان

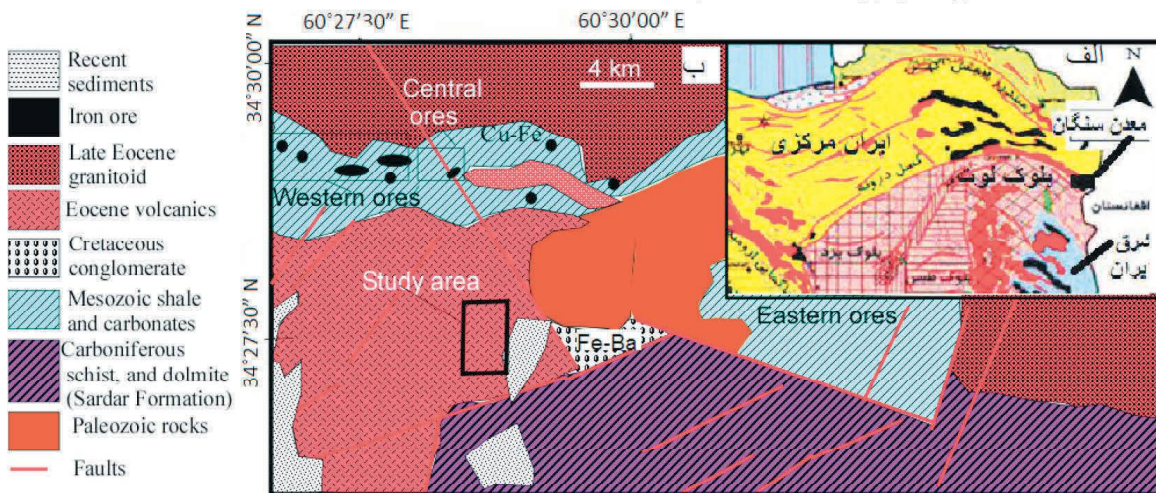
بر اساس نقشه ارائه شده توسط آقانباتی (۱۳۸۳)، کانسارهای آهن سنگان از نظر زمین‌شناسی در خرد قاره ایران مرکزی و در بخش‌های شمال‌خاوری بلوك لوت قرار

تابع فوگاسیته اکسیژن است به طوری که اگر فوگاسیته اکسیژن طی تفرقی ماغماهای سیلیکاته پایین باشد به مرور و با تشکیل کانی‌های سیلیکاته غلظت آهن به تدریج در مagma افزایش و نهایتاً منجر به تشکیل سنگ‌های آهن نیز می‌شود. در محیط‌های رسوبی، تشکیل سنگ‌های آهن تابع تغییرات حالت اکسیداسیون می‌باشد و آهن در شرایط احیایی، متحرک و تحت شرایط اکسیدان رسوب می‌کند. از این‌رو آهن از مناطق با اکسیژن پایین به سمت مناطق با اکسیژن بالا مهاجرت می‌کند (Maynard, 1983).

حمل این عنصر در سیالات گرمابی دما بالا به صورت کمپلکس‌های کلریدی انجام می‌شود و در شرایط مناسبی از Eh و pH مگنتیت و هماتیت را تشکیل می‌دهد (Siegel, 1979, Scholten, et al., 2019). سولفیدهای آهن در محیط‌های سوپرژن در تماس با محلول‌های غنی از اکسیژن تبدیل به اکسیدهای آهن آبدار می‌شوند. کانه‌زایی آهن در ایران در مناطق مختلف از پرکامبرین تا سنوزوئیک ادامه داشته است که یکی از آنها منطقه آهن دار سنگان خواف در استان خراسان رضوی است. معدن سنگان در حدود ۳۰۰ کیلومتری جنوب‌خاوری مشهد و ۴۰ کیلومتری جنوب‌خاوری خواف قرار دارد. مهم‌ترین کانسارهای سنگان، شامل کانسارهای باختری (A, A', B, C جنوبی و C شمالی)، مرکزی (دردوی و باغک) و خاوری (سنجدک ۱، سنجدک ۲ (بغل‌بید)، سنجدک ۳، معدن جو، سم آهنی و فرزنه) است (سریوزی حسین‌آبادی، ۱۳۹۶). تاریخچه مطالعاتی و اکتشافی معدن سنگان بسیار گسترده است که از آن جمله می‌توان به کریم‌پور (۱۳۶۹، ۱۳۷۷، ۱۳۷۷)، کریم‌پور و ملک‌زاده شفارودی (۱۳۸۵ و ۱۳۸۶)، گل محمدی و همکاران (۱۳۹۲، ۱۳۹۳، ۱۳۹۶) اشاره کرد. کانسارهای آهن سنگان عمدتاً از نوع اسکارن و گرمابی می‌باشند کانی‌شناسی، ساختار و شکل بروند و دگرسانی کانه‌زایی آهن بغل‌بید با کانسارهای آهن سنگان در مناطق باختری، مرکزی و آنومالی معدن جو در منطقه خاوری متفاوت است. کانه‌زایی آهن بغل‌بید در جنوب آنومالی باغک و در نقشه ۱/۲۵۰۰۰ تایید قرار دارد و مساحت گستره معدن سنگان در

رسوبی، دگرگونی، آتشفشنایی و نفوذی تشکیل شده است. در منطقه سنگان قدیمی‌ترین واحدهای زمین‌شناسی را به پالئوزوئیک نسبت می‌دهند که متشکل از سنگ‌های مختلفی مثل شیست، ماسه‌سنگ، دولومیت، سنگ‌آهک، سنگ‌های آتشفشنایی دگرگون شده، اسلیت و فیلیت است (Ternet, 1990) (شکل ۱).

می‌گیرد (شکل ۱-الف). کریم پور و همکاران (۱۳۸۱)، این منطقه را بخشی از نوار آتشفشنایی پلوتونیکی خواه-کاشمر-بردسکن می‌دانند. این کمریند با طول بیش از ۳۵۰ کیلومتر، پهنای ۱۵ تا ۸۰ کیلومتر و امتداد خاوری-باختری در شمال گسل درونه قرار دارد و تا کشور افغانستان ادامه دارد. این کمریند به طور عمده از سنگ‌های



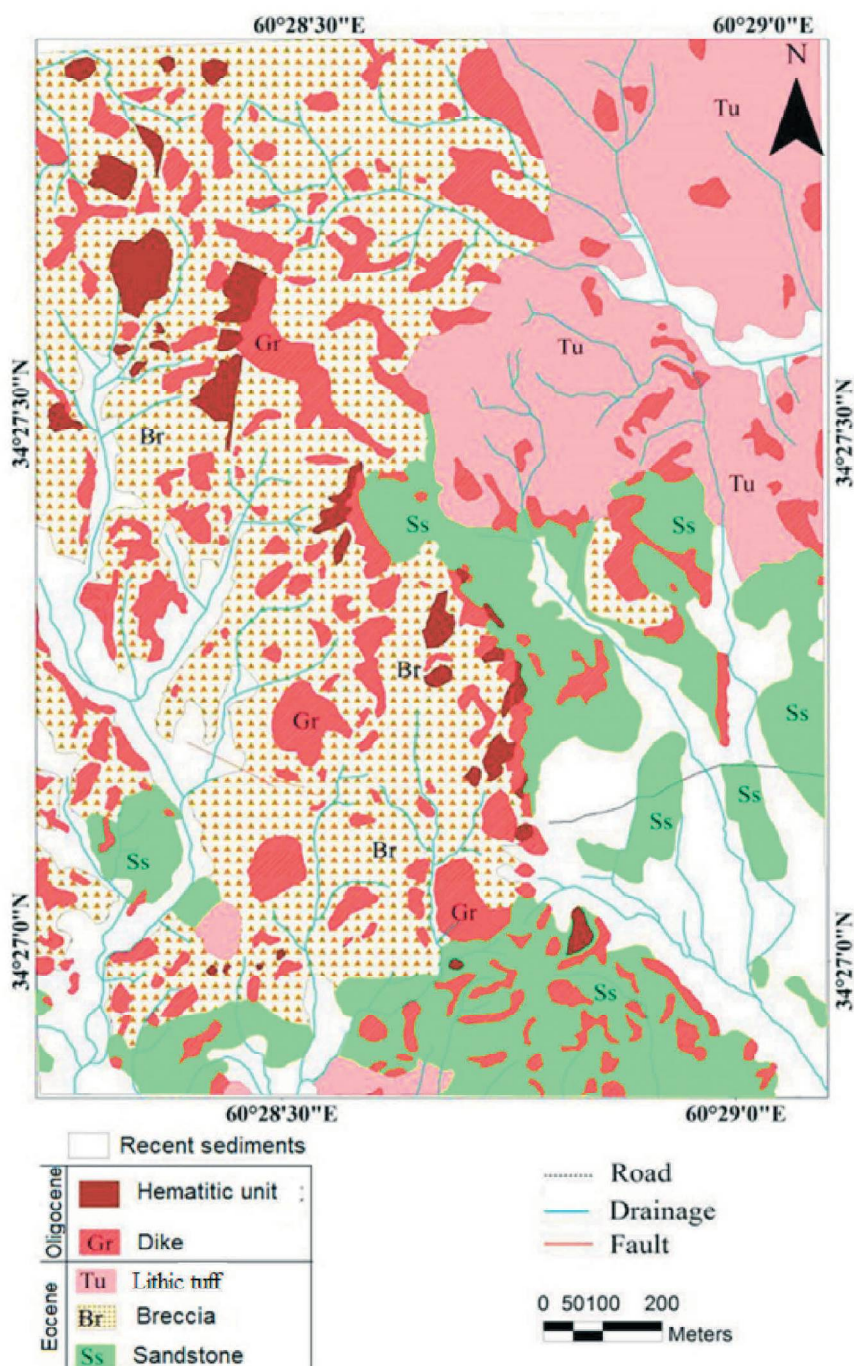
شکل ۱. الف) موقعیت سنگان در نقشه پهنه‌های زمین‌شناسی ایران (آقاباتی، ۱۳۸۳)، ب) نقشه زمین‌شناسی ساده‌ای از کانسارهای سنگ‌آهن سنگان و محدوده اطراف آن (با تغییرات از علوی نائینی، ۱۳۶۱)، محل محدوده آهن بغل‌بید و کانسارهای آهن باختری و مرکزی سنگان در چهارگوش‌های نشان داده شده است. آنومالی‌های خاوری در خاور و جنوب‌خاوری کانسارهای آهن مرکزی ادامه دارند

(شکل ۱-ب). بمنظور می‌رسد نفوذ توده‌های عظیم گرانیتوئیدی در شمال منطقه نقش زیادی در دگرگونی، دگرسانی، کانه‌زایی و تشکیل اسکارن در منطقه داشته است (Boomeri et al., 2006; Golmohammadi et al., 2015). آخرین فازهای نفوذی شامل استوک‌ها و دایک‌های گرانودیوریتی متعدد در منطقه می‌باشد (Boomeri et al., 1997).

زمین‌شناسی گستره آهن بغل‌بید

واحدهای سنگی در گستره مطالعاتی شامل ماسه‌سنگ، برش‌ولکانیکی، کنگلومرا، آگلومرا و لیتیک توف هستند. براساس شکل ۱-ب این واحدها بخشی از سنگ‌های ولکانیکی اثوسن که عمدتاً شامل گدازه و سنگ‌های آذرآواری و تخریبی می‌شوند. واحدهای سنگی مذکور در گستره مطالعاتی مورد نفوذ حجم زیادی از دایک‌های حدواتسط با سن احتمالی اولیگوسن واقع شده است (شکل ۲).

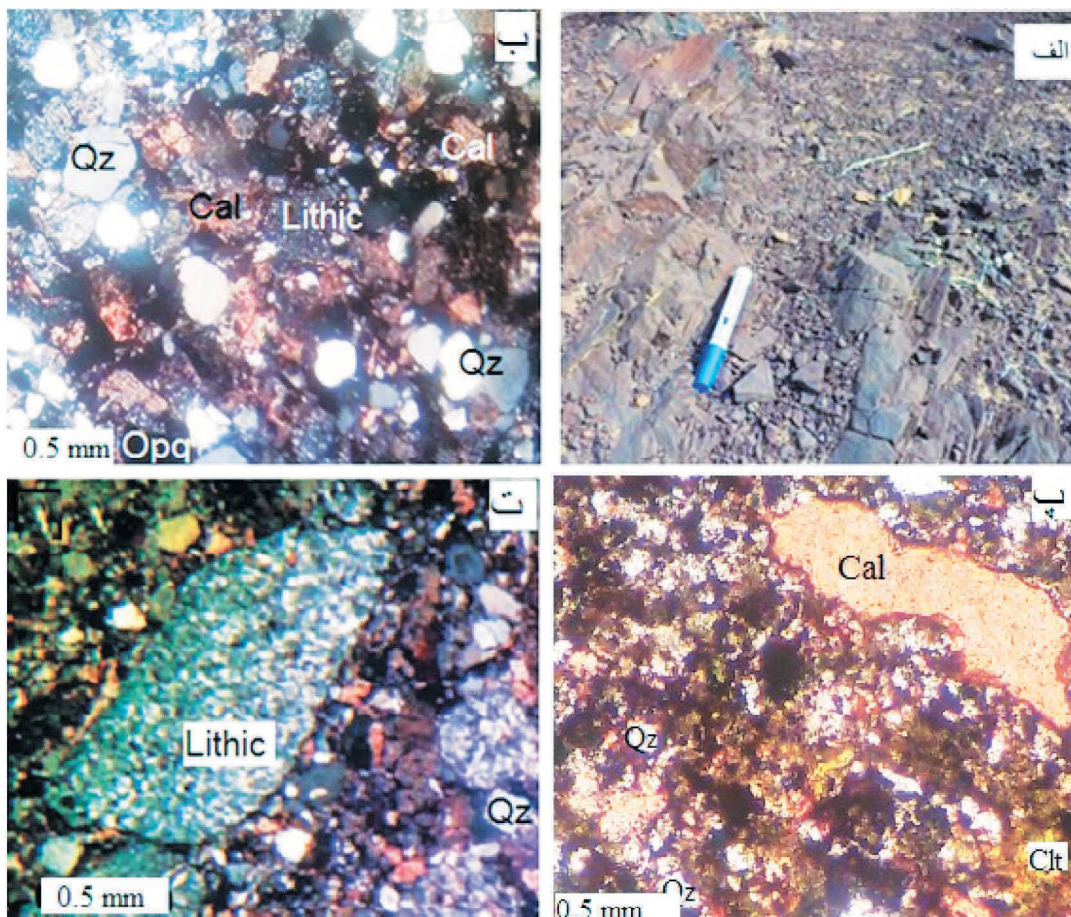
سنگ‌های کربونیفر در این منطقه با تردید معادل سازند سردر در نظر گرفته شده است که عمدتاً شامل شیست، متاشیست، کوارتزیت، دولومیت، کنگلومرا و متاولکانیک می‌باشد (Ternet, 1990). سنگ‌های این سازند در نزدیکی گستره مورد مطالعه شامل فیلیت و ماسه سنگ نیز می‌شود. براساس مطالعات جدیدتر سنگ‌های نسبت داده شده به کربونیفر در مجاورت کانسنگ‌های آهن سنگان عمدتاً دارای سن مزوژوئیک می‌باشد (Boomeri et al., 2006). واحدهای سنگی زوراسیک در شمال ذخایر سنگ‌آهن باختری سنگان شامل شیل، ماسه‌سنگ و سیلتستون می‌باشند، که در مجاورت با گرانیتوئیدهای منطقه به هورنفلس و کوارتزیت تبدیل شده‌اند. این سنگ‌ها به‌وسیله دولومیت، سنگ‌آهک و سنگ‌آهک‌های مرمری شده کرتاسه پوشیده شده‌اند. حجم عظیمی از سنگ‌های آذرین خروجی و آذرآواری‌های اثوسن با سنگ‌های قدیمی‌تر منطقه مرز گسله دارند



شکل ۲. نقشه زمین‌شناسی و موقعیت افق آهن در محدوده آهن بغل بید

سنگی به شرح زیر است:
ماسه سنگ: این واحد بیشتر در بخش‌های کم ارتفاع نزدیک به دشت در جنوب و جنوب خاور منطقه قابل مشاهده است و رنگ آن خاکستری تا قهوه‌ای مایل به قرمز است. این واحدهای سنگی نشان‌دهنده آغشته‌گی آن به ترکیبات آهن است (شکل ۳-الف).

براساس مطالعه مغزه‌های حفاری شده، ماسه سنگ، برش ولکانیکی، اگلومرا و لیتیک توفها به صورت متناوب تکرار می‌شوند ولی افق آهن فقط در بخش بالای واحد برش دیده می‌شود. وجود میان لایه‌های لیتیک توف در این واحدهای سنگی نشان‌دهنده تکرار فوران خاکسترها آتشفسانی در گستره مطالعه‌ای است. توصیف واحدهای



شکل ۳. تصاویری از واحد ماسهسنگ در منطقه بغل‌بید، (الف) تصویری از رخمنون‌ها با رنگ خاکستری تا قهوه‌ای مایل به قرمز، (ب) تصویر میکروسکوپی از ماسهسنگ در نور پلاریزه متقطع، (پ) تصویر میکروسکوپی از ماسهسنگ در نور پلاریزه تخت (PPL)، (ت) تصویر میکروسکوپی از میکروکنگلومرا در نور پلاریزه متقطع، دارای قطعات سنگی ریز و درشت و بلورهای کوارتز، کوارتز، اوپک=Opq، اوپک=Cal، کلسیت=Lithic، گلوكونیت=Glt، عالم اختصاری کانی‌ها از Whitney and Evans, 2010

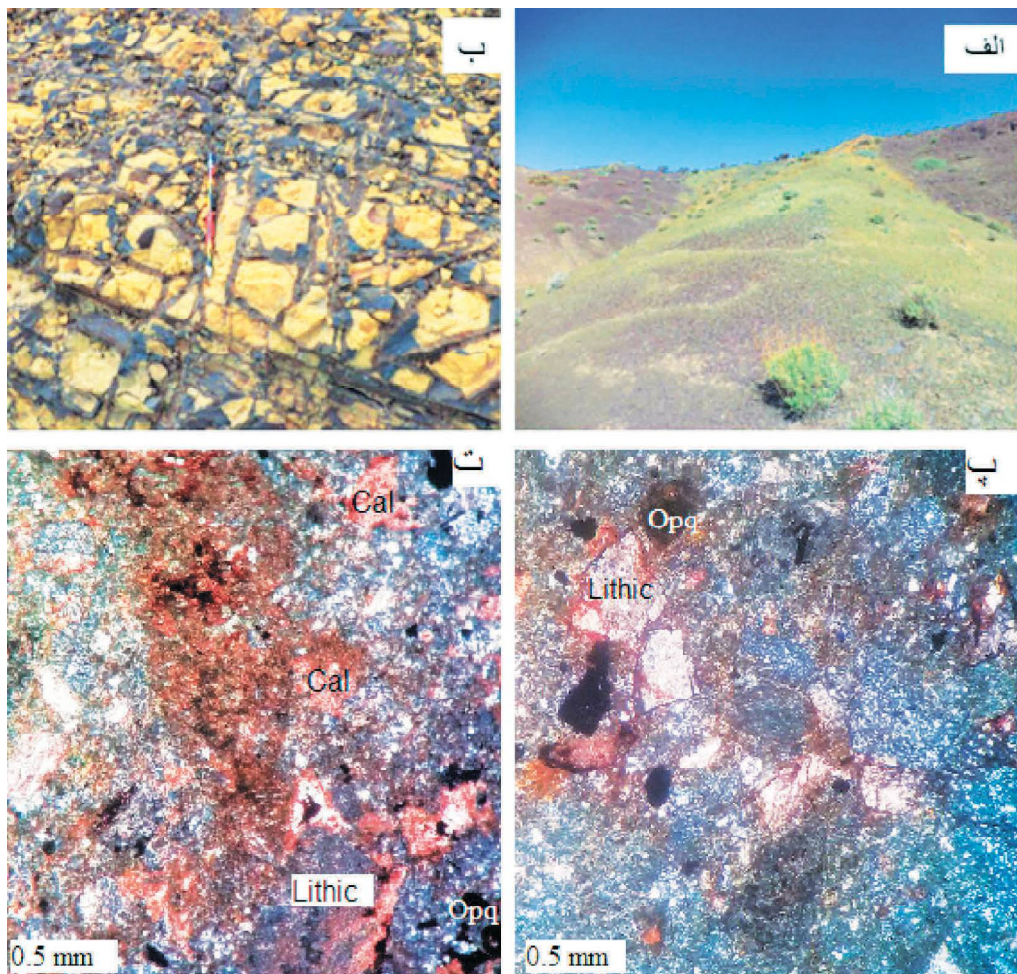
به دو صورت دیده می‌شود: نوع اول کوارترهای گرد شده تا نیمه‌گرد شده اولیه می‌باشدند و نوع دوم، کوارتر ثانویه که به صورت رگچه‌های ظرفی کوارتر-کربنات ماسهسنگ‌ها را قطع کرده است. بلورهای شکل‌دار تا نیمه‌شکل‌دار پلاژیوکلاز که به صورت پراکنده در بعضی نمونه‌های مشاهده شده عمدتاً به کربنات دگرسان شده‌اند. گلاکونیت در بعضی از نمونه‌ها به صورت بی‌شکل و زائد مانند به رنگ سبز تا قهوه‌ای در نور طبیعی (PPL) دیده می‌شود (شکل ۳-پ) (سربوزی حسین‌آبادی، ۱۳۹۶). گاهی میزان خردہسنگ با اندازه‌های مختلف آنقدر زیاد است که بیشتر شبیه میکروکنگلومرا و کنگلومرا هستند (شکل ۳-ت).

لیتیک توف: ۲۰ درصد از سنگ‌های منطقه را واحد لیتیک توف تشکیل می‌دهد که بیشترین گسترش آن در

این واحد در برخی جاها به وسیله رگه‌های سیلیسی قطع شده است. کانی‌ها و اجزاء تشکیل دهنده ماسهسنگ‌ها عمدتاً کوارتر و قطعات سنگی می‌باشد. پلاژیوکلاز، گلاکونیت، اکسیدهای آهن، کربنات و کانی‌های ورقه‌ای نیز به صورت پراکنده در آن مشاهده می‌شود. پلاژیوکلازها ریز هستند و مقدار آنها کمتر از ۱۰ درصد می‌باشد. براساس طبقه‌بندی (Folk, 1980) ماسهسنگ‌های منطقه مورد مطالعه در رده لیت‌آرنایت قرار می‌گیرند. ماسهسنگ‌ها از نظر بافتی از ریزدانه تا متوسط دانه و نیمه بالغ تا بالغ متغیر می‌باشند، بیشتر ماسهسنگ‌های منطقه از نوع بالغ با کمتر از ۱ درصد خمیره رسی هستند (شکل ۳-پ). درصد کوارتر در نمونه‌های مختلف منطقه متفاوت است اما به طور کلی بیش از ۵۰ درصد سنگ را شامل می‌شوند. کوارتر در ماسهسنگ‌های منطقه

میکروسکوپی از این واحد نشان می‌دهد که این سنگ دارای زمینه ریزبیلور و دارای خرددهای لیتیک از جنس رسوبی، آندزیت و داسیت می‌باشد. بیوتیت، پلاژیوکلاز و کوارتز از کانی‌های این واحد سنگی می‌باشند (شکل ۴-الف و ب). کانی‌های ثانویه مثل کلسیت، سریسیت، و کانی‌های رسی نیز در این واحد تشکیل شده‌اند. کانی‌های اوپاک در فضاهای خالی این سنگ مشاهده می‌شوند.

قسمت شمال خاور منطقه است. لایه‌های یک متري از لیتیک توف و ماسه‌سنگ معمولاً به طور متناوب قابل مشاهده است (شکل ۴-الف). این واحد عمدتاً به رنگ سبز تا قهوه‌ای مایل به قرمز در منطقه دیده می‌شود که رنگ قهوه‌ای و قرمز آن به دلیل آغشتگی با هماتیت است. رگچه‌های اکسید آهن ثانویه در سطح لیتیک توف‌ها به مقدار زیاد و به صورت شبکه‌ای قابل مشاهده است (شکل ۴-ب). مطالعه مقاطع



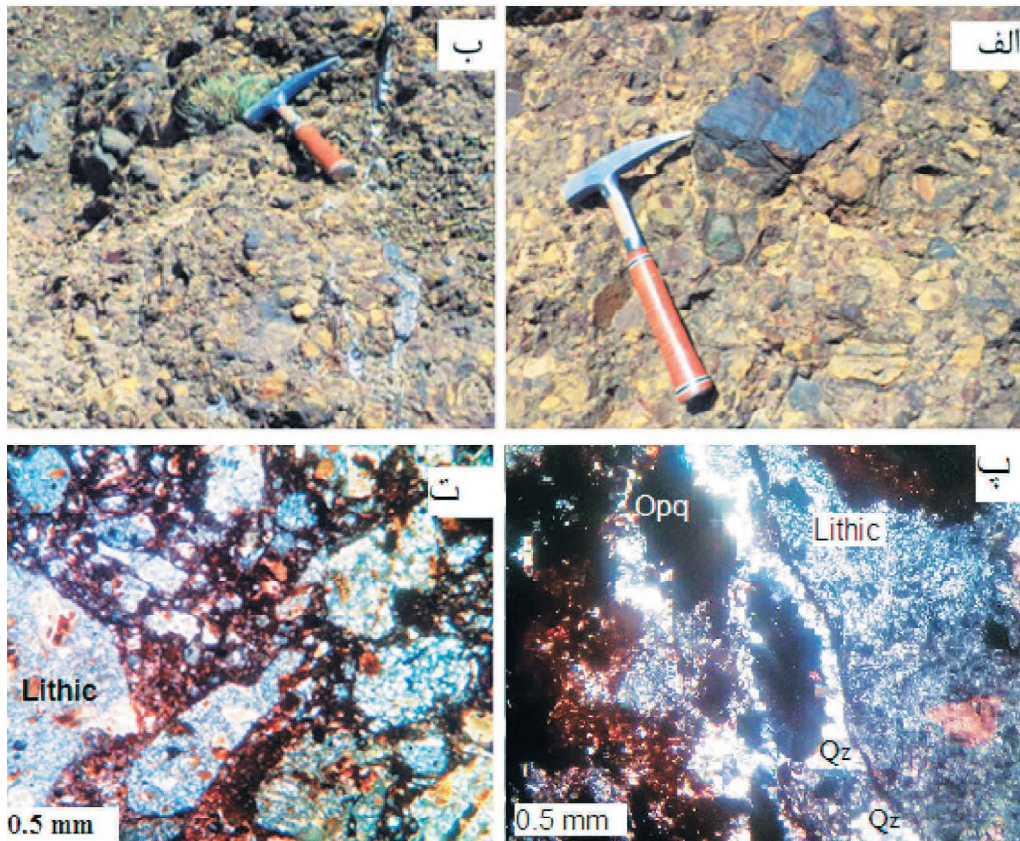
شکل ۴. واحد لیتیک توف در منطقه بغل بید، الف) رخمنون لیتیک توف، ب) شبکه‌ای از رگه‌رگچه‌های آغشته به اکسیدهای آهن که لیتیک توف را قطع کرده‌اند، پ و ت) تصاویر میکروسکوپی لیتیک توف در نور پلاریزه متقاطع، که عمدتاً از خرده سنگ‌هایی با زمینه‌ای ریزدانه تشکیل شده‌اند. دگرسانی، خردشدنگی و زاویه‌دار بودن بعضی اجزا قابل تشخیص است، اوپاک=Opq، کلسیت=Cal، خرده‌سنگ=Lithic، عالم اختصاری کانی‌ها از Whitney and Evans, 2010

(شکل ۵-الف). واحد آگلومراتی نیاز لحاظ اندازه قطعات بسیار متنوع و از قطعات میکروسکوپی تا قطعاتی به قطر ۳۰ سانتی‌متر متغیر است (شکل ۵-ب). قطعات تشکیل‌دهنده آن عمدتاً از نوع آذرین می‌باشد. اجزای برش عمدتاً از جنس لیتیک توف و توف آندزیتی است که از

برش و اگلومرا؛ برش‌ها ۵۰ درصد از مساحت گستره مطالعاتی را به خود اختصاص می‌دهند و در شمال غرب تا غرب و حتی بخش‌های میانی قابل مشاهده است. این برش از قطعات آذرین و رسوبی تشکیل شده است. اندازه قطعات آن از میکروسکوپی تا ماکروسکوپی در تغییر می‌باشد

در فضای بین قطعات برش و دیگر فضاهای خالی و گاهی روی سطح کانی‌ها مشاهده می‌شود. کوارتزهای ریزی که در اطراف حفره‌ها رشد کرده‌اند، احتمالاً از سیالات گرمابی دما پایین تشکیل شدند (شکل ۵-ت).

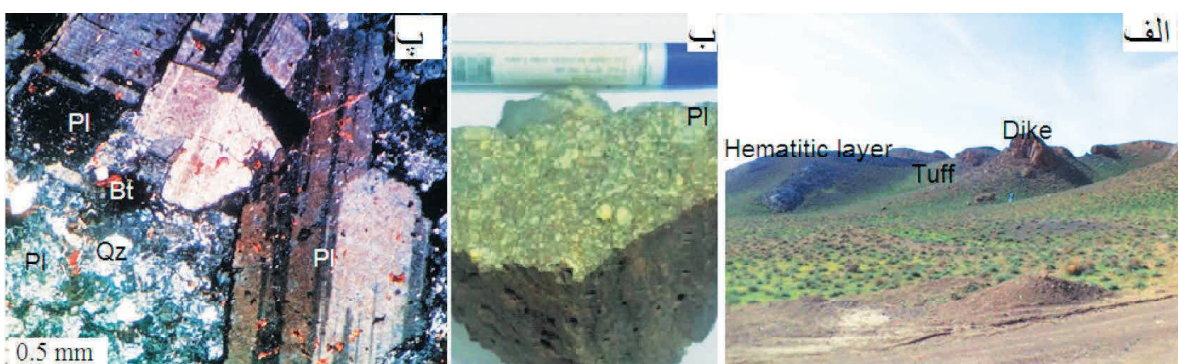
اندازه‌های میکروسکوپی تا ماکروسکوپی در تغییر می‌باشد. قطعات آندزیتی دارای زمینه‌ای ریزدانه بوده و بلورهای درشت آن پلازیوکلاز شکل دار تا نیمه‌شکل دار است که در بیشتر موارد دگرسان و تبدیل به کانی‌های رسی و کربنات شده است (شکل ۵-پ). کوارتز و کلسیت همراه با هماتیت



شکل ۵. تصاویری از برش و آگلومرا، (الف) رخمنون برش و لکانیکی که اندازه قطعاتش ناهمسان و سطح آن تیره رنگ است، (ب) رخمنون آگلومرا که از قلوه‌های ریز و درشت تشکیل شده و میزان رگچه‌هایی از کوارتز، کربنات و سولفات می‌باشد، (پ) برش که عمدتاً از قطعات آندزیتی تشکیل شده است و زمینه و فضاهای خالی بهوسیله سیمان و رگچه‌هایی آغشته به اکسید آهن پر شده است، (ت) رشد کوارتزهای گرمابی در اطراف حفرات خالی، اوپک=Opk، خرد سنگ=Cal، لیثیک=Lithic، علاوه اختصاری کانی‌ها از Whitney and Evans, 2010.

از کوارتز (۲۰ درصد) و فلدسپار تشکیل شده است. آپاتیت از کانی‌های فرعی و کلریت، سریسیت و کانی‌های رسی از کانی‌های ثانویه دایک‌ها هستند. کانی‌های اوپاک هم در حدود ۲ تا ۳ درصد حجم این سنگ‌ها را در برگرفتند. دایک‌ها بر اساس نوع و درصد کانی‌ها و بافت آنها عمدتاً از نوع گرانوپورفیریت پورفیری می‌باشند هرچند وجود درصد بالای درشت بلورهای ارتوکلاز نشان می‌دهد که دایک‌هایی با ترکیب کوارتز مونزونیت پورفیری و کوارتز سینیت پورفیری نیز در گستره مطالعه وجود دارد.

دایک‌ها: تعداد زیادی از دایک‌های متعلق به اولیگوسن با امتداد شمالی-جنوبی و با شیب ۲۰ تا ۳۰ درجه به غرب و شمال‌غرب، در گستره مطالعاتی تزریق شدند. این دایک‌ها دیگر واحدهای سنگی را در منطقه قطع کرده‌اند (شکل ۶-الف). دایک‌ها دارای رنگ روشن است و بافت پورفیری هستند (شکل ۶-ب و پ). درشت بلورهای که عمدتاً پلازیوکلاز می‌باشند حدود ۶۰ درصد حجم سنگ را تشکیل می‌دهند. اندازه پلازیوکلاز متغیر و حداقل به ۵ میلی‌متر می‌رسد (شکل ۶-ب و ب). هورنبلند و بیوتیت از دیگر درشت بلورها در این سنگ می‌باشند. زمینه عمدتاً



شکل ۶. تصاویری از دایک‌های گرانودیوریت پورفیری در منطقه بغل بید، (الف) تصویر صحرایی از دایک‌ها که در لیتیک توف‌ها تزریق شده، (ب) نمونه دستی از دایک‌ها، (پ) تصویر میکروسکوپی از دایک‌ها در نور پلازما، پلازموکلار، $\text{Pl}=\text{Pl}$ ، بیوتیت= Bt ، کوارتز= Qz ، علامت اختصاری کانی‌ها Whitney and Evans, 2010 از

کانه‌زائی

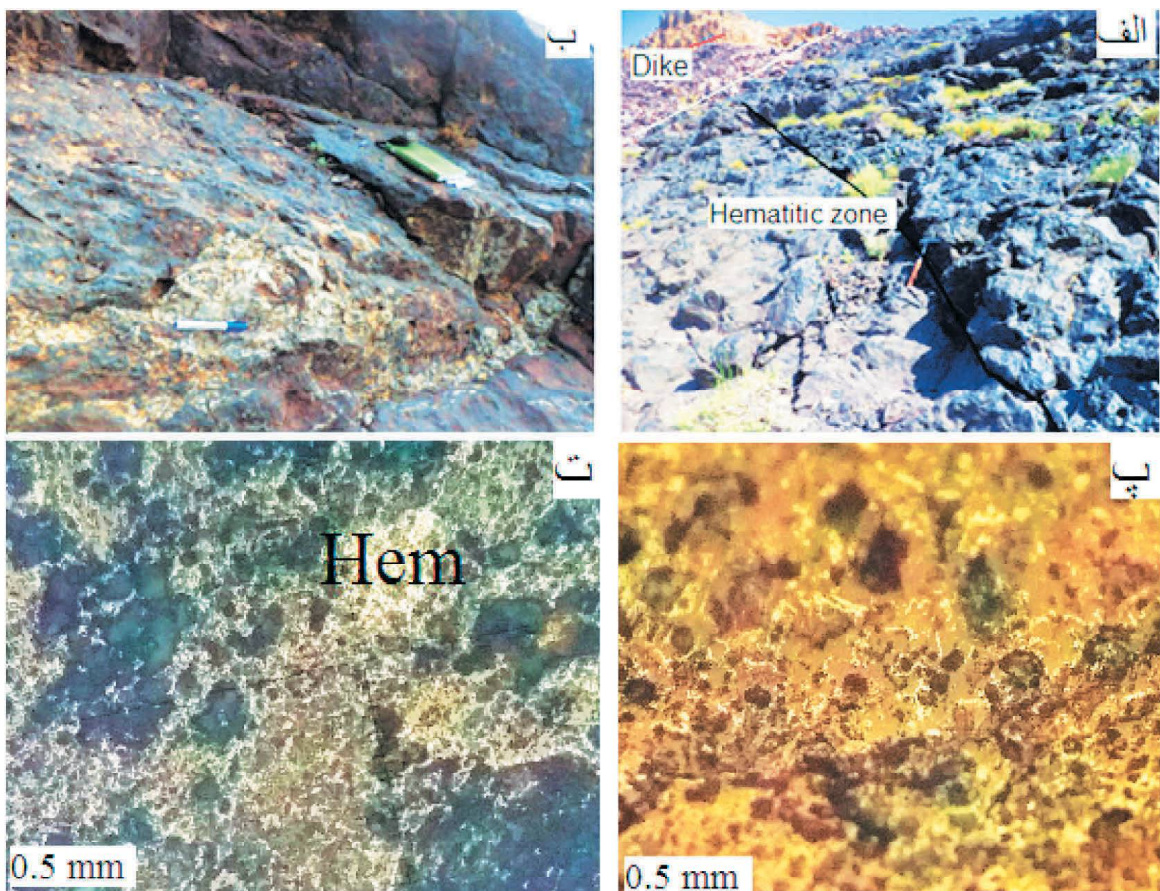
سنگ میزان (برش) می‌باشدند. سه کانی اخیر همراه با هماتیت در فضاهای خالی به صورت رگچه‌ای و پرکننده‌ی فضاهای خالی تشکیل شده است (شکل ۷-ب). هماتیت به صورت بی‌شکل، ریز و پراکنده به رنگ زرد با بافت تیغه‌ای و پرکننده فضای خالی، بر سطح کانی‌ها یا کنار قطعات بشی تشکیل شده است (شکل ۷-پ و ت)، بافت پرکننده فضای خالی هماتیت نشان‌دهنده اپی‌ژنتیک بودن آنها است. کانسارهای اپی‌ژنتیک معمولاً از سیالات گرمابی تشکیل می‌شوند. نتایج پراش اشعه ایکس روی نمونه‌های واحد آهن در شکل ۸ دیده می‌شود که نشان‌دهنده کانی‌های باریت، کوارتز، هماتیت و کلسیت است.

ژئوشیمی دایک‌ها

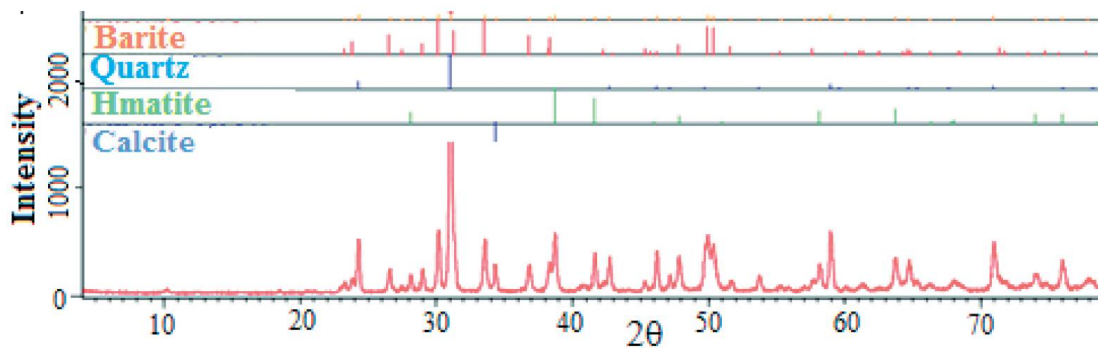
نتایج تجزیه شیمیایی ۶ نمونه از دایک‌های منطقه بغل بید در جدول ۱ آورده شده است. بر اساس این داده‌ها دایک‌های منطقه در مرز محدوده گرانودیوریت (کوارتز دیوریت)، سینوگرانودیوریت و گرانیت قرار می‌گیرند (شکل ۹). میانگین SiO_2 در دایک‌های منطقه ۶۴/۵ درصد است و با افزایش آن، مقادیر Fe_2O_3 , Al_2O_3 , K_2O , TiO_2 , MgO و CaO کاهش Na_2O و P_2O_5 فزایش می‌یابد. نسبت $\text{K}_2\text{O}/\text{Na}_2\text{O}$ برای

بیشتر نمونه‌ها کمی بیشتر یا کمتر از یک است. به دلیل تاثیر عوامل دگرسانی یک نمونه بهشت از Na_2O غنی (بیش از ۸ درصد وزنی) و از K_2O فقری شده است به طوری که نسبت $\text{K}_2\text{O}/\text{Na}_2\text{O}$ آن حدود ۰/۰۴ است.

در گستره بغل بید دو نوع کانه‌زایی وجود دارد ۱-کانه‌زائی مس که در یک رگه سیلیسی دیده می‌شود. در این رگه کالکوپیریت و پیریت از کانی‌های اولیه و کربنات‌های مس که از دگرسانی کالکوپیریت حاصل شده از کانی‌های ثانویه هستند. این کانه‌زایی در فاصله نزدیکی از جنوب محدوده مطالعاتی واقع شده است و موضوع بحث این مقاله نیست. ۲-کانه‌زائی آهن که در یک افق لایه‌ای یا عدسی مانند با شیب ۳۰ تا ۴۰ درجه با امتداد شمالی-جنوبی دیده می‌شود. کنتاکت این افق با دیگر واحدهای سنگی مشخص است که در بیشتر موارد واحد سنگی کمر بالای آن دایک‌ها و واحد سنگی کمر پایین و میزان، برش ولکانیکی است (شکل ۷-الف). به طور کلی امتداد افق آهن در کل منطقه به صورت S شکل مشاهده می‌شود که از بخش جنوب منطقه به سمت شمال گسترش سطحی آنها افزایش پیدا می‌کند (شکل ۲). امتداد شمالی-جنوبی کانه‌زائی بیش از یک کیلومتر و عرض آن از یک تا بیش از ۱۰ متر متغیر است. بر اساس حفاری‌های انجام شده کانه‌زائی آهن فقط در بخش سطحی مشاهده می‌شود. افق کانه‌زایی در سطح هوازده به رنگ سیاه آهنه است (شکل ۷-الف و ب). در اصل نفوذ اکسید آهن در فضای خالی سنگ میزان منجر به رنگ تیره سنگ میزان شده و مقدار اکسیدهای آهن آن چندان بالا نیست. اکسید آهن در این افق عمدها هماتیت می‌باشد. گوتیت و لیمونیت نیز در این سنگ‌ها حضور دارند. کانی باطله در واحد آهن دار باریت، کربنات و کوارتز و قطعات



شکل ۷. تصاویری از واحد هماتیتی، (الف) تصویری از رخمنون واحد آهن دار که با دایک گرانودریوریتی مرز دارد و گسل خوردگی در آن دیده می شود، (ب) رگه رچه های کوارتز، کلسیت و باریت در واحد آهن دار با رنگ سفید، (پ و ت) تصاویر میکروسکوپی از ذرات هماتیت که با رنگ سفید در سنگ پراکنده هستند

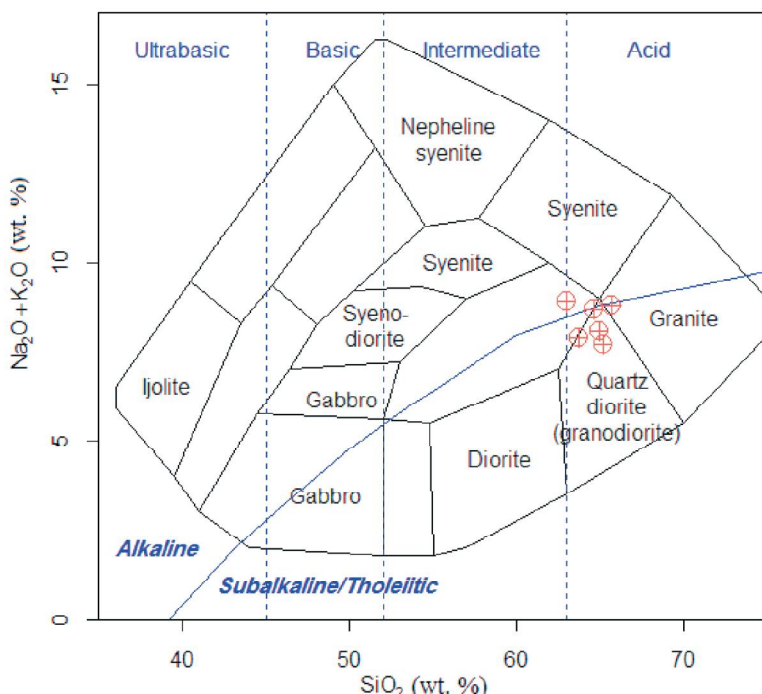


شکل ۸. الگوی پراش اشعه ایکس (XRD) مربوط به نمونه کانسنگ از بخش غنی از باطله در منطقه بغل بید، باریت فاز اصلی در نمونه است که به وسیله کوارتز، هماتیت و کلسیت همراهی می شود

به همین دلیل این نمونه در شکل ۱۰-الف در محدوده سنگ های کم پتاسیم و یا تولثیتی واقع شده است. تمایز سری های ماقمابی برای بقیه نمونه ها براساس نمودار Peccerillo and (Irvine and Baragar, 1971) و (Taylor, 1976) (شکل ۱۰-الف و ب) نشانگر سری ماقمابی می باشند

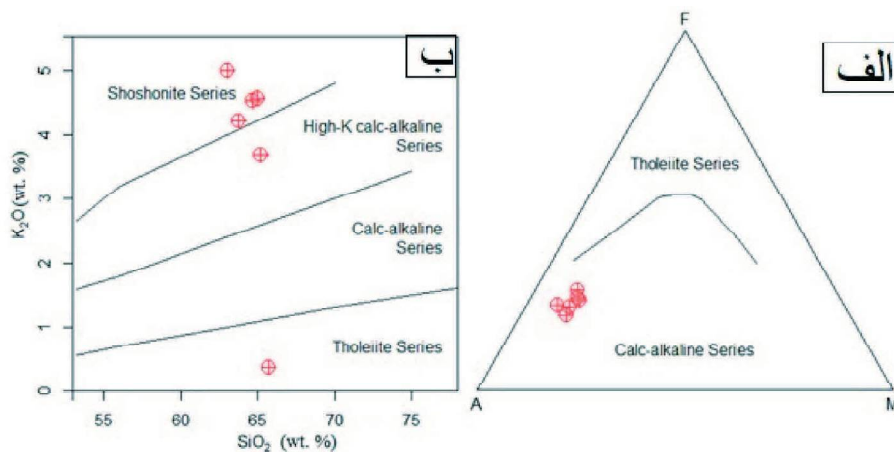
جدول ۱. مقادیر غلظت اکسید عناصر اصلی (درصد وزنی) در شش نمونه دایک گرانودیوریتی به روش XRF

Sample	ES2	ES1	ES52	ES29	ES50	ES44
X	268320	268391	268052	268527	268249	267956
Y	3815048	3815035	3816269	3816083	3815575	3816041
Rock	Granodiorite	Granodiorite	Granodiorite	Granodiorite	Granodiorite	Granodiorite
SiO ₂	65.72	63.02	64.97	65.21	64.68	63.77
TiO ₂	0.42	0.46	0.61	0.43	0.51	0.57
Al ₂ O ₃	15.98	17.66	16.32	16.65	16.53	16.73
FeOt	3.37	3.04	3.65	3.39	3.37	3.92
CaO	2.15	2.18	1.92	1.99	1.69	2.27
MgO	0.97	1.44	1.48	1.51	1.39	1.32
K ₂ O	0.37	5	4.57	3.69	4.53	4.22
Na ₂ O	8.46	3.92	3.52	4.02	4.17	3.69
P ₂ O ₅	0.29	0.19	0.25	0.24	0.22	0.47
LOI	2.19	2.8	2.5	2.4	2.6	2.7
Total	99.92	99.71	99.79	99.53	99.69	99.66

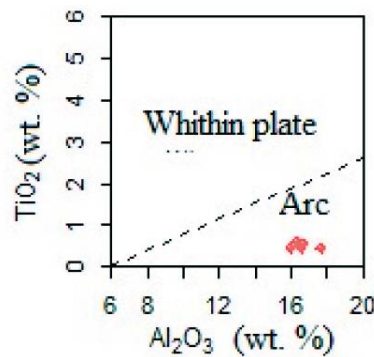


شکل ۹. طبقه‌بندی سنگ‌های آذرین براساس ترکیب شیمیایی، (الف) براساس طبقه‌بندی کاکس و همکاران (Cox et al., 1979) نمونه‌های دایک‌ها عمدتاً در محدوده گرانودیوریت قرار گرفته‌اند، (ب) براساس طبقه‌بندی میدل‌موست (Middlemost, 1994) نمونه‌های دایک‌ها در محدوده کوارتز‌مونزونیت تا گرانیت قرار گرفته‌اند

غنى از پتاسيوم و متعلق به ماجماي شوشونيتى مى باشند، شوشونيتها و سنگ‌های غنى از پتاسيوم مرتبط با کمان‌ها عموماً در رويدادهای بعد از برخورد تشکيل مى شوند (Müller et al., 1992) تغييرات ژئوشيميايی در آنها قابل چشمگير نىست و نمى توان درباره چگونگي فرآيندهای تفريق، ذوب و تبلور آنها بحث نمود. براساس ژئوشيمياي عناصر اصلی دایک‌هاي مورد بررسى در يك جايگاه تكتونيکي مرتبط با کمان شكل گرفته است (شکل ۱۱). با توجه به اينكه نمونه‌های کم دگرسان شده



شکل ۱۰. (الف) نمودار مثلثی AFM جهت تغییرات سری‌های از کالک‌آلکان در دایک‌های گرانوڈیوریتی (Irvine and Baragar, 1971)، (ب) نمایش دایک‌های گرانوڈیوریتی در نمودار K_2O در مقابل SiO_2 (Peccerillo and Taylor, 1976)



شکل ۱۱. نمودار TiO_2 در مقابل Al_2O_3 ، نمایش ترکیب دایک‌ها بر روی نمودار جداکننده محیط تکتونیکی (Müller et al., 1992)

ژئوشیمی واحد آهن‌دار

دادهای ژئوشیمیابی حاصل از آنالیز اکسیدهای اصلی و عناصر کمیاب ده نمونه از واحد آهن‌دار و چهار نمونه از سنگ‌های غیرمیزالیزه در جدول ۲ نشان داده شده است. لازم به ذکر است که یک نمونه فقط برای عناصر اصلی آنالیز شده است. مقدار اکسید آهن در گستره بغل بید حدودی بین ۷ تا ۵۶ درصد وزنی را نشان می‌دهد. تمام این مقادیر از کلارک آهن بیشتر است. چندین عنصر دیگر مثل باریم، آنتیموان، روی، سرب، مس و نقره در افق هماتیتی در مقایسه با مقادیر کلارک و دیگر واحدهای سنگی محدوده غنی‌شدگی دارند. میانگین عنصر آهن در کانسنگ برابر ۲۴/۱۸ درصد و بیشینه و کمینه مقدار آن به ترتیب ۳۹ و ۵ درصد می‌باشند. این داده‌ها نشان می‌دهد که مقدار آهن در بیشتر نمونه‌های مورد مطالعه از کلارک آهن به مراتب بیشتر است. میانگین آهن برای نمونه‌های غیرمیزالیزه ۶

درصد می‌باشد که اندکی بیش از کلارک این عنصر است. بیشینه غنی‌شدگی آهن در افق هماتیتی تا ۶/۵ برابر نسبت به میانگین آهن در نمونه‌های غیرمیزالیزه است. مقدار فراوانی عنصر آهن در بیشتر نمونه‌ها در بازه ۲۳ تا ۲۸ درصد وزنی قرار دارد. میانگین عنصر مس در نمونه‌های کانسنگ برابر ۱۶ گرم در تن و بیشینه و کمینه مقدار آن در نمونه‌های مورد بررسی به ترتیب به ۴۰ و ۳ گرم در تن است که از لحاظ اقتصادی بی‌اهمیت می‌باشد. مقدار باریم در بعضی از نمونه‌های کانسنگ قابل ملاحظه است به طوری که یکی از نمونه‌ها دارای ۶/۵ درصد وزنی اکسید باریم دارد (جدول ۲) در حالی که مقدار باریم در سنگ‌های دیواره ناقیز است. این مقادیر نشان دهنده کانی‌های باریم‌دار در افق هماتیتی است. میانگین عنصر نقره در نمونه‌های کانسنگ برابر ۰/۹۱ گرم در تن، بیشترین و کمترین مقدار آن به ترتیب ۰/۱۰ و ۰/۷۰ است.

جدول ۲. مقادیر اکسید عناصر اصلی (درصد وزنی) و عناصر کمیاب (گرم در تن) نمونه‌های واحد آهن دار بغل بید، نمونه‌های B و T به ترتیب از واحدهای برش، ماسه‌سنگ و لیتیک توف می‌باشند

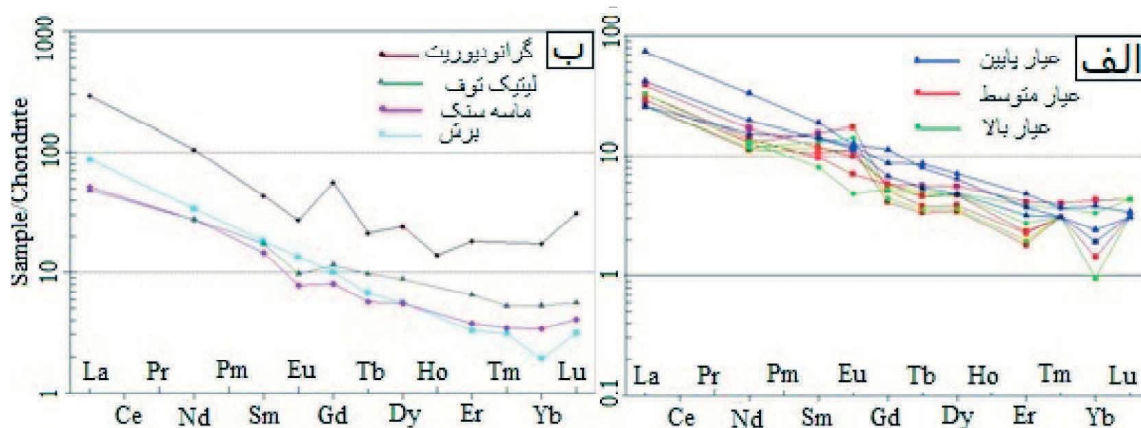
Sample	A9	A8	A7	A6	A5	ES8	ES12	ES17	ES41	ES42	ES11	ES3	ES28	ES21	
ore/rock	ore	ore	ore	ore	ore	ore	ore	ore	ore	ore	breccia	breccia	Tuff	sandstone	
SiO ₂	47.7	36.5	43.5	47.4	46.43	43.09	45.6	29.02	68.1	64.3	63.54	63.12	66.4	80.51	
TiO ₂	0.17	0.1	0.2	0.2	0.25	0.3	0.34	0.1	0.37	0.59	0.75	0.28	0.52	<0.1	
Al ₂ O ₃	4.51	3.97	4.43	5.44	4.26	6.87	9.71	3.6	6.04	10.1	17.27	17.38	12.4	5.41	
FeO	43	53.9	45.7	39.8	39.96	33.43	36.7	55.87	18.9	13.8	7.8	9.08	7.2	9.28	
CaO	1.18	1.31	1.8	2.27	0.21	0.77	1.22	1.01	1.37	3.12	0.57	0.33	3.41	0.33	
K ₂ O	1.33	1.98	1.47	1.79	<0.1	1.49	3.57	0.9	2.26	2.8	6.88	5.77	2.86	2.6	
Na ₂ O	0.1	0.1	0.1	0.1	0.1	0.1	0.1	0.1	0.12	0.15	<0.1	2.46	>0.1		
BaO	0.07	0.1	0.2	0.1	3.18	6.47	0.15	3.1	0.2	0.15	0.1	0.1	0.05	0.1	
LOI												3.58	4.49	1.62	
Total	98	97.9	97.4	97.1	94.39	92.52	97.4	93.7	97.4	94.9	97.06	96.06	95.2	98.23	
Ag	2.7		1.1	0.5	1.1	1.2	0.4	0.6	0.5	0.9	0.1	0.2	0.3	0.2	
As	>100		>100	>100	>100	>100	>100	>100	>100	>100	96.8	40.4	24.1	11.3	15.2
Ba	705		1991	998	3703	1870	1633	3415	2114	1449	717	996	281	847	
Co	10.5		10.1	9.1	8	8	11.9	10.2	6.3	4.9	2.9	3.7	3.4	10	
Cs	1.9		3.5	2.6	4.7	9.2	3.6	4.2	5.3	7.6	14.9	10.8	9.6	2.1	
Cu	27		40	3	10	34	9	4	6	24	5	13	3	6	
Hf	1.57		1.31	1.59	1.28	1.07	1.03	1.12	1.54	2.21	1.26	1.93	2.35	1.28	
Mn	217		320	307	116	182	412	228	2963	729	284	1913	611	1865	
Nb	3.4		2.6	3.5	3	1.5	2.3	2.3	2.2	4.3	2.9	4.1	3.5	3.4	
Ni	6		3	3	3	5	6	3	5	31	7	5	5	24	
Pb	25		102	30	89	106	49	73	26	41	5	6	3	<1	
S	676		1135	712	25000	35000	443	22000	659	1144	338	448	402	517	
Sb	74.6		>100	45.6	8.9	34.2	59.2	37.7	39	31.6	20.4	14.7	6.4	7.7	
Sc	2.2		1.6	2	1.7	1.9	3.6	1.1	2.9	3.9	4.2	3.3	4.1	3.7	
Te	0.14		0.14	0.18	0.85	0.21	0.13	0.35	0.23	0.15	<0.1	0.11	0.23	<0.1	
Tl	0.17		0.24	0.27	0.2	0.42	0.41	0.18	0.36	0.44	1.14	1	0.6	0.18	
V	39		36	26	32	43	35	35	34	46	42	44	33	38	
Y	6		5.5	7.6	4.7	3.9	4.9	4.3	6	8.3	7.4	6.7	12.5	6.6	
Zn	37		53	43	49	70	44	63	54	50	21	50	41	65	
La	10		8	10	9	8	12	8	13	8	23	27	15	16	
Ce	12		7	12	10	9	16	8	19	13	46	54	33	34	
Pr	0.74		0.34	0.85	0.57	0.39	1.27	0.56	1.72	0.68	3.89	4.64	2.93	2.92	
Nd	7.9		7.1	8.4	7.7	6.8	10.1	7.2	11.8	9.1	19.8	20.4	16.5	16.6	
Sm	1.58		2.28	1.89	3	2.08	2.32	2.53	2.73	2.8	3.63	3.53	3.35	2.86	
Eu	0.36		0.79	0.52	1.26	0.83	0.73	1.03	0.85	0.89	0.92	0.99	0.72	0.58	
Gd	1.38		1.49	1.51	1.35	1.07	1.52	1.15	1.76	2.26	2.93	2.6	2.97	2.11	
Tb	0.22		0.24	0.27	0.18	0.16	0.22	0.17	0.26	0.41	0.38	0.32	0.46	0.27	
Dy	1.58		1.51	1.82	1.25	1.11	1.53	1.17	1.56	2.29	2.08	1.81	2.84	1.78	
Er	0.81		0.58	0.87	0.47	0.38	0.49	0.41	0.67	1.02	0.78	0.68	1.37	0.79	
Tm	0.12		<0.1	0.13	<0.1	<0.1	<0.1	<0.1	<0.1	0.12	<0.1	<0.1	0.17	0.11	
Yb	0.7		0.4	0.9	0.4	0.2	0.3	0.2	0.4	0.8	0.5	0/4	1.1	0/7	
Lu	0.14		<0.1	0.14	0.1	<0.1	<0.1	<0.1	<0.1	0.11	<0.1	<0.1	0.18	0.13	

نمونه‌ها، آرسنیک در کانسنگ بیشتر از ۱۰۰ گرم در تن است و غنی‌شدگی قابل توجهی را نسبت به سنگ دیواره نشان می‌دهد. آنتیموان هم در نمونه‌های کانسنگ در مقایسه با سنگ دیواره غنی‌شدگی دارد. ۰/۲ گرم در تن می‌باشد. میانگین این عنصر در سنگ‌های دیواره در کانسنگ‌ها نسبت به سنگ‌های دیواره است به طوری که بیشینه غنی‌شدگی به ۱۳/۵ برابر نیز می‌رسد. در بیشتر

غنى شدگی نسبی LREE نسبت به HREE و پایین بودن مقادیر HREE نیز از خصوصیات کانسارهای گرمابی است (Helvaci, 1984; Xu Bao et al., 2008). میزان و نوع ناهنجاری Eu غالباً با فوگاسیته اکسیژن ارتباط دارد و ناهنجاری‌های مثبت آن اکثرأ در محیط‌های شدیداً اکسیدان حاصل می‌شود (Frietsch, 1970; Mason and Moore, 1993; Rollinson, 1982; Rollinson, 1993) هماتیت از کانی‌هایی است که در شرایط اکسیدان و در فوگاسیته اکسیژن بالاتری تشکیل می‌شود و ناهنجاری Eu و Yb برای بعضی از نمونه‌های کانسنگ ممکن است به عیار و ظرفیت آهن مرتبط باشد. شکل (۱۲-ب) الگوی عناصر نادر خاکی به‌هنجار شده به کندریت را در دایک، برش، لیتیک توف و ماسه سنگ‌های محدوده بغل بید نشان می‌دهد. مقایسه الگوی عناصر خاکی در برش شباهت بیشتری را با الگوی این عناصر در واحد آهن‌دار دارد (شکل ۱۲-ب). دایک‌ها الگویی متفاوت و مقدار کل عناصر نادر خاکی بیشتری دارند.

ژئوشیمی عناصر نادر خاکی

میانگین مقدار کل عناصر نادر خاکی در نمونه‌های افق هماتیتی در محدوده بغل بید ۵۰ گرم در تن می‌باشد. شکل ۱۳-الف الگوی این عناصر که به کندریت به‌هنجار شده است را برای این نمونه‌ها نشان می‌دهد. به‌طورکلی الگوی تغییرات عناصر نادر خاکی در نمونه‌های آهن دار تا حدی یکسان و مشابه می‌باشد که روند کاهنده‌ای را با شبیه متوسطی از عناصر سبک به سنگین نشان می‌دهند. مقدار کل عناصر نادر خاکی در نمونه‌های مورد بررسی با افزایش عیار آهن تقریباً کاهش پیدا کرده است به این صورت که در نمونه‌های با مقادیر آهن بیشتر، میزان عناصر کمیاب آن کمتر است. ناهنجاری منفی مشخصی از عنصر Yb در بیشتر نمونه‌های افق آهن دار قابل مشاهده است (شکل ۱۲-الف). ناهنجاری Eu در بیشتر نمونه‌ها مثبت و در بعضی نمونه‌ها منفی است. ناهنجاری Eu در کانسارهای آهن گرمابی غالباً مثبت است (Hongo and Nozaki, 2001).



شکل ۱۲. الف) الگوی عناصر نادر خاکی کانسنگ هماتیت به‌هنجار شده نسبت به کندریت (Boynton, 1984)، ب) الگوی عناصر نادر خاکی سنگ‌های دیواره منطقه به‌هنجار شده نسبت به کندریت (Boynton, 1984)

Al_2O_3 در سازند نواری سوپریور در بخش اکسیدی ۷/۳۹٪ بخش سیلیکات ۲/۴۱٪، بخش کربنات ۱/۴٪ و در نوع الگوما در بخش اکسیدی ۳٪، بخش سیلیکات ۱/۵۶٪، بخش کربنات ۶/۰٪ و بخش سولفید ۶/۲۳٪ است (Maynard, 1983). در حالی که میانگین Al_2O_3 در منطقه بغل بید ۷٪ درصد وزنی است. میانگین درصد وزنی P_2O_5 در کانسارهای رسوی سوپریور در بخش اکسیدی ۰/۰۶٪، بخش سیلیکات ۱٪،

خاستگاه

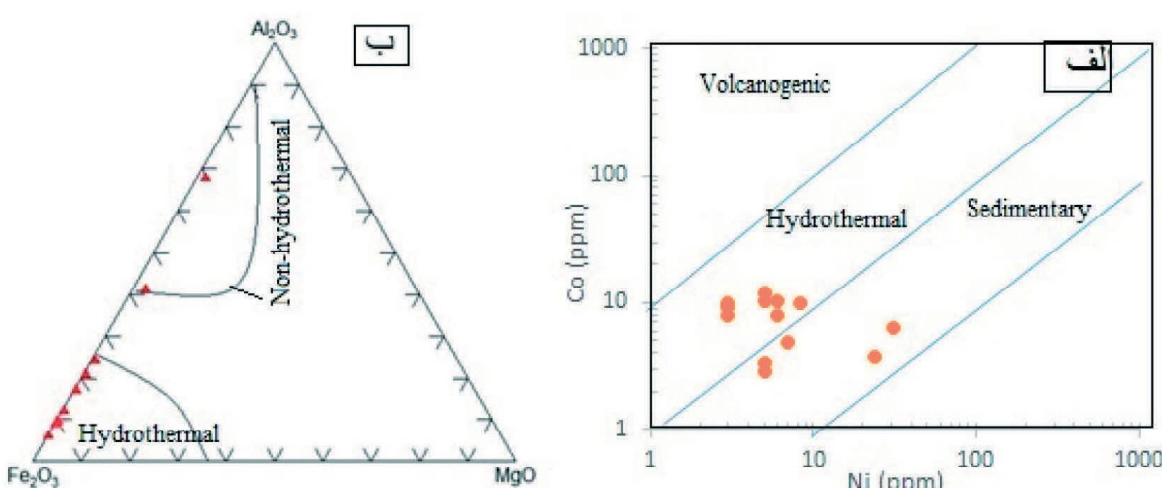
کانه‌زایی آهن در بغل بید شباهتی با کانسارهای آهن رسوی، دگرگونی و ماقمایی شناخته شده ندارد. به عنوان مثال از نظر گسترش یا اندازه، بافت و ساخت و سبک کانه‌زایی واحد آهن دار بغل بید با سازند آهن نواری قابل مقایسه نیست. ژئوشیمی این کانسنگ مورد بحث، نیز با سازند سنگ آهن نواری متفاوت است. میانگین درصد وزنی

زیردیایی و خشکی از خود ناهنجاری نشان می‌دهند به طوری که به عنوان عناصر ردهای در اکتشاف کانسارهای ابی ترمال بکار می‌روند. ظاهرًا نسبت‌های Co/V و Co/Ni شاخص‌های مناسبی برای تشخیص خاستگاه کانه‌زائی آهن است (Bajwah et al., 1987). رجبزاده و راستی (۱۳۹۰) نیز از این شاخص‌ها برای بحث خاستگاه کانسار آهن دهید استفاده کرده‌اند. براساس نسبت Co/Ni ، اکثر نمونه‌های محدوده بغل بید در محدوده کانسارهای گرمابی و تعدادی در محدوده کانسارهای رسوی واقع شدند (شکل ۱۳-الف). نسبت Cr/V در اغلب ذخایر سنگ‌آهن ماقمایی و رسوی کمتر از ۱/۰ است و این نسبت در ذخایر آهن گرمابی بالاتر از ۱ است (Marschik and Fontbote, 2001). مقدار این نسبت برای کانسنگ آهن بغل بید برابر ۱/۱۸ می‌باشد که در محدوده کانسارهای سنگ آهن گرمابی قرار می‌گیرد. مقدار کروم در کانسارهای آهن گرمابی از ۱۰ تا ۳۰۰ گرم در تن گزارش شده است (Bookstrom, 1977). غلظت کروم در نمونه‌های هماتیتی بغل بید بین ۸۶-۲۶ گرم در تن متغیر است و میانگین آن در حدود ۴۳/۷ گرم در تن است، بنابراین از لحاظ میزان غلظت کروم، تا حد زیادی این کانسار با کانسارهای گرمابی مشابه می‌باشد. مقدار آلومینیم و منیزیم در واحد سنگ آهن دار بغل بید بیشتر شبیه کانسارهای گرمابی است (شکل ۱۳-ب).

بخش کربنات ۱۵٪ و در نوع آگوما بخش اکسیدی ۲۱٪، بخش سیلیکات ۴۲٪، بخش کربنات ۴۴٪ و بخش سولفید ۱۷٪ است (Maynard, 1983) در حالی که در منطقه بغل بید میانگین درصد وزنی P_2O_5 کمتر از ۰٪ است. کانسار سنگ‌آهن بغل بید با کانسارهای نوع ماقمایی نیز شباهتی ندارد از لحاظ ژئوشیمی کانسارهای نوع ماقمایی سنگ آهن، دارای تیتانیوم، وانادیوم و گاهی فسفر بالاتری بوده است. یکی از ویژگی‌های کانسارهای آهن با منشا ماقمایی، بالا بودن مقدار وانادیم آنها است (۲۰۰ تا ۱۰۰۰ گرم در تن) (Nyström and Henriquez, 1994). کانسارهای آهن نوع کایرون و IOCG نیز با فسفر فراوان و تشکیل ثانویه آلبیت و اکتینولیت مشخص می‌شوند (Mehrabi, et al., 2019).

در کانسار بغل بید مقدار عنصر تیتانیوم و وانادیوم کم و همبستگی منفی شدیدی با آهن دارد. فرضیه نوع اسکارن نیز برای کانه‌زایی آهن در بغل بید منتفی است چون هر چند کانه‌زائی آهن بغل بید در مجاورت دایک‌ها رخ داده ولی هیچ اثری از یک هاله دگرگونی و کانی‌های اسکارن در آن دیده نمی‌شود.

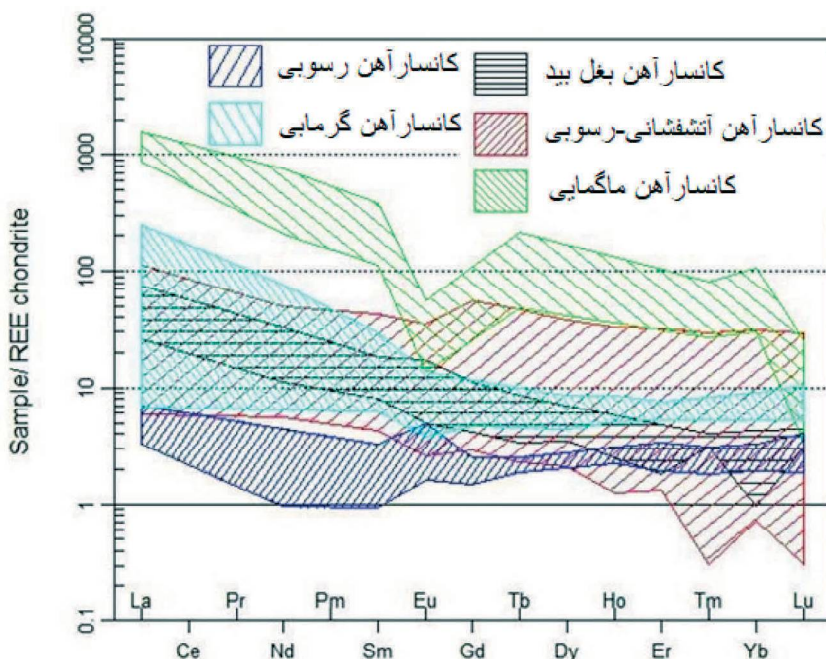
وجود ناهنجارهایی از عناصر As, Sb, Ag, Pb, Zn و Ba در واحد سنگ آهن دار بغل بید ممکن است نشانگ تشکیل این کانسار از سیالات گرمابی باشد. این عناصر معمولاً در کانسارهای گرمابی مرتبط با آتشفسان‌های



شکل ۱۳. الف) نمودار $\text{Co}-\text{Ni}-\text{Al}_2\text{O}_3$ در نمونه‌های کانسنگ، محدوده ذخایر آهن گرمابی (Bajwah et al., 1987)، ب) موقعیت نمونه‌های کانسنگ در نمودار مثلثی $\text{Al}_2\text{O}_3-\text{Fe}_2\text{O}_3-\text{MgO}$ (Russel et al., 1981)

دماهی رگه مس دار از دمای کانه‌زائی آهن کمتر است. به نظر می‌رسد دمای زمین‌گرمایی در حین فعالیت‌های ماغمایی مرتبط با دایک‌های نیمه‌زرف گرانوودیوریتی در منطقه افزایش پیدا کرده و باعث شده آبهای جوی زیرزمینی گرم شده و ضمن چرخش در واحدهای سنگی منطقه باعث کانه‌زائی در شکستگی‌ها و مناطق نفوذپذیر شوند. کانه‌زائی آهن در مناطق کم‌عمق و در شرایط اکسیدان تشکیل شده است. تشکیل بلورهای کوارتز در حفرات و فضاهای خالی و در اطراف اجزای برش (ساختمان کوکادی) (شکل ۵-ت) نیز ممکن است از شواهد اپی‌ترمال در منطقه باشد.

الگوی REE برای نمونه‌های بغل‌بید از افق هماتیت‌دار در مقایسه با الگوی این عناصر برای کانسارهای آهن رسوی، ماغمایی، رسوی-آتشفشاری و گرمایی در شکل ۱۴ نشان داده شده است. این مقایسه شباهت بیشتر الگوی کانه‌زائی آهن را با الگوی کانسارهای گرمایی و رسوی-آتشفشاری نشان می‌دهد. در مطالعه‌ای که در راستای همین پژوهش انجام شده، دما و شوری سیالات درگیر در کوارتزهای موجود در رگه کوارتز حاوی کالکوپیریت در منطقه و در کوارتزهای همراه با نمونه هماتیت‌دار در محدوده دما و شوری سیالات درگیر در کانسارهای اپی‌ترمال قرار می‌گیرند (سربوزی حسین‌آبادی، ۱۳۹۶)، بر اساس این اطلاعات



شکل ۱۴. الگوی REE برای نمونه‌های بغل‌بید از افق هماتیت‌دار در مقایسه با الگوی این عناصر برای کانسارهای سنگ‌آهن رسوی، ماغمایی، رسوی-آتشفشاری و گرمایی نormalized شده نسبت به کندریت (Boynton, 1984) (Helvaci, 1984؛)، (Fontbote, 2001 Marschik and)، (کاظمی راد و همکاران، ۱۳۹۳)

فضاهای خالی بین اجزای برش تشکیل شده که نشان‌دهنده اپی‌ژنتیک بودن آن است. ژئوشیمی کانسنگ آهن بغل‌بید با ژئوشیمی کانسارهای گرمایی شباهت بیشتری دارد و از نظر مقدار و اندازیم و کروم، نسبت Ce/Ni به CO نادر خاکی در محدوده کانسارهای گرمایی قرار می‌گیرند. وجود ناهنجاری‌هایی از عناصر As , Sb , Ag , Ba در واحد آهن دار بغل‌بید نشان‌گر تشکیل این کانسار از سیالات گرمایی می‌باشد. سیالات گرمایی آهن را احتمالاً از سنگ‌های

نتیجه‌گیری

واحدهای زمین‌شناسی محدوده مورد مطالعه عمده آذرآواری و از تناوب ماسه‌سنگ، لیتیک توف، اگلومرا، کنگلومرا و برش تشکیل شده که توسط دایک‌هایی با ترکیب گرانوودیوریت قطع شدند. این دایک‌ها متعلق به سری ماغمایی کالکوالکالن پتاسیم بالا و شوشوونیتی و محیط‌های بعد از کوه‌زایی می‌باشند. کانه‌زائی آهن در بخش بالای واحد اگلومرا و برش و نزدیک به دایک‌ها به صورت هماتیت در

- کریم پور، م.ح.، سعادت، س. و ملکزاده شفارودی، آ.، ۱۳۸۱. شناسابی و معرفی کانی‌سازی نوع Fe-oxides Cu-Au و مگنتیت مرتبط با کمریند ولکانیکی-پلوتونیکی، خواف-کاشمر-بردسکن. بیست و یکمین گردهمایی علوم زمین. ۱۳۸۵.
- کریم پور، م.ح. و ملکزاده شفارودی، آ.، ۱۳۸۵. مقایسه ژئوشیمی سنگ منشاء توده مگنتیت طلادر تنورجه و مگنتیت بدون طلای معدن سنگان، استان خراسان رضوی. مجله بلورشناسی و کانی‌شناسی ایران، ۱۳، ۴۴۲-۴۳۲.
- کریم پور، م.ح. و ملکزاده شفارودی، آ.، ۱۳۸۶. ژئوشیمی و کانی‌شناسی زون‌های اسکارنی و سنگ‌شناسی سنگ منشا کانسار آهن سنگان خراسان. فصلنامه علوم زمین، ۶۵، ۱۰۸-۱۲۵.
- گل محمدی، ع.، کریم پور، م.ح.، ملکزاده، آ. و مظاہری، ا.، ۱۳۹۲. پترولوزی و سن سنجی زیرکن به روش U-Pb در توده‌های نفوذی مناطق A، C جنوبی و دردوی معدن سنگ‌آهن سنگان خواف. زمین‌شناسی اقتصادی، ۵، ۱۵۵-۱۷۴.
- گل محمدی، ع.، مظاہری، ا.، ملکزاده، آ. و کریم پور، م.ح.، ۱۳۹۳. سن سنجی زیرکن با روش U-Pb و ژئوشیمی توده‌های گرانیتی سرخ و برمانی، شرق معدن سنگ‌آهن سنگان خواف. پترولوزی، ۱۷، ۸۳-۱۰۲.
- گل محمدی، ع.، حیدریان شهری، م.ح.، مظاہری، ا.، رحیمی، ب.، کریم پور، م.ح.، ۱۳۹۶. تفسیر ناهنجاری‌های مغناطیسی معدن غربی سنگ‌آهن سنگان با استفاده از اطلاعات زمین‌شناسی و گمانه‌ها. مجله ژئوفیزیک ایران، ۱۱، ۸۷-۱۰۹.
- علی نائینی، م.، ۱۳۶۱. نقشه زمین‌شناسی ۱:۲۵۰۰۰. تایباد. سازمان زمین‌شناسی ایران.
- Bajwah, Z. U., Secombe, P.K. and Offler, R., 1987. Trace element distribution, Co:Ni ratios and genesis of the Big Cadiairon-copper deposit, New South Wales, Australia. Mineralium Deposita, 22, 292-300.
- Bookstrom, A.A., 1977. The magnetic deposit of El Romeral, Chile. Economic Geology, 72, 1101-1130.
- Boomeri, M., 1997. Geochemical characteristics of halogen-bearing hastingsite, scapolite

آذرآواری شسته و در بخش برشی که نفوذپذیری بالای داشته حمل و مت مرکز کرده است. احتمالاً گرمای مرتبط با تشکیل دایک‌های گرانودیوریتی باعث ایجاد و چرخش سیالات گرمابی شده است.

سپاسگزاری

نویسنده‌گان از معاونت پژوهشی دانشگاه سیستان و بلوچستان و سازمان توسعه و نوسازی معدن و صنایع معدنی ایران به جهت حمایت مالی و همچنین از کارکنان محترم بخش اکتشاف معدن سنگان برای فراهم آوردن امکان مطالعات صحرایی قدردانی می‌نمایند. از داوران این مقاله هم برای راهنمایی‌های ارزشمندشان سپاسگزاریم.

منابع

- آقانباتی، ع.، ۱۳۸۳. زمین‌شناسی ایران. سازمان زمین‌شناسی و اکتشافات معدنی کشور، ۸۵۶.
- رجبزاده، م.، ع. و راستی، ص.، ۱۳۹۰. مطالعه کانه زایی کانسار مگنتیت دهیبد با استفاده از داده‌های کانی‌شناسی و ژئوشیمیایی. زمین‌شناسی اقتصادی، ۳، ۲۱۷-۲۳۰.
- سربوزی حسین‌آبادی، آ.، ۱۳۹۶. زمین‌شناسی، کانی‌شناسی، ژئوشیمی و ژئز کانی‌زایی آهن بغل بید، جنوب‌شرق معدن سنگان، شرق ایران. پایان‌نامه کارشناسی ارشد، دانشگاه سیستان و بلوچستان.
- کاظمی راد، م. راستاد، ا. و مجل، م.، ۱۳۹۳. کانه زایی آهن منگنز دار در دولومیت‌های معادل سازند شتری در شمال خاور دهیبد، پهنه سندج-سیرجان جنوبی، استان فارس. فصلنامه علوم زمین، ۹۴، ۳۸۹-۳۸۲.
- کریم پور، م.ح.، ۱۳۶۹. بررسی منشا و چگونگی تشکیل کانسار آهن سنگان خراسان. مجموعه مقالات سمینار سنگ آهن، شرکت ملی فولاد ایران، دفتر آموزش و تجهیز نیروی انسانی، ۲۶۹-۲۸۱.
- کریم پور، م.ح.، ۱۳۷۷. دما، نحوه تشکیل و پارازیز مگنتیت در بخش‌های مختلف کانسار آهن سنگان خراسان. خلاصه مقالات هفدهمین گردهمایی علوم زمین، ۱۶۷-۱۶۱.
- کریم پور، م.ح.، ۱۳۸۲. کانی‌شناسی، آلتراسیون، سنگ منشا و محیط تکتونیکی کانسارهای Iron-Oxides Cu-Au و مثالهای از ایران. یازدهمین همایش بلورشناسی و کانی‌شناسی ایران، دانشگاه یزد، ۱۸۹-۱۸۴.

- and phlogopite from the Sangan iron skarn deposits, northeastern Iran. *Journal of Mineralogy, Petrology and Economic Geology*, 92, 481–501.
- Boomeri, M., Mizuta, T., Ishiyama, D. and Nakashima, K., 2006. Fluorine and chlorine in biotite from the Sarnowsar granitic rocks, northeastern Iran. *Iranian Journal of Science and Technology*, 30 (A1), 111–125.
 - Boomeri, M., Ishiyama, D., Mizuta, T., Matsubaya, O. and Lentz, D.R., 2010. Carbon and oxygen isotopic systematics in calcite and dolomite from the Sanagan iron skarn deposit, northeastern Iran. *Journal of Sciences, Islamic Republic of Iran*, 21, 213–244.
 - Boynton, W. V., 1984. Geochemistry of the rare earth elements: Meteorite studies. In: *Rare Earth element geochemistry* (Ed. Henderson, P.), Elsevier, Amsterdam, 63–114.
 - Cox, K.G., Bell, J.D. and Pankhurst, R.J., 1979. *The Interpretation of Igneous Rocks*. Allen and Unwin, London, 450.
 - Folk, R.L., 1980. *Petrology of Sedimentary Rocks*. Hemphills Book Store, Austin, Texas.
 - Frietsch, R., 1970: Trace elements in magnetite and hematite mainly from northern Sweden. *Sveriges geologiska undersökning C* 646, 3, 138.
 - Golmohammadi, A., Karimpour, M.H., Malekzadeh Shafaroudi, A. and Mazaheri, S.A., 2015. Alteration-mineralization, and radiometric ages of the source pluton at the Sangan iron skarn deposit, northeastern Iran. *Ore Geology Reviews*, 65, 2, 545–563.
 - Hein, J.R., Schwab, W.C. and Davis, A.S., 1988. Co-and Pt-rich ferromanganese crusts and associated substrate rocks from the Marshall Islands. *Marine Geology*, 78, 255–283.
 - Helvacı, C., 1984. Apatite-rich iron deposits of the Avnik (Bingöl) region, Southeastern Turkey. *Economic Geology*, 79, 345–371.
 - Hongo, Y. and Nozaki, Y., 2001. Rare earth element geochemistry of hydrothermal deposits and calyptogena shell from the Iheya Ridge vent field, Okinawa Trough. *Geochemical Journal*, 35(5), 347–354.
 - Irvine, T.N. and Baragar, W.R.A., 1971. A guide to the chemical classification of the common volcanic rocks. *Canadian Journal of Earth Sciences*, 8, 523–548.
 - Marschik, R. and Fontbote, L., 2001. The Candelaria-Punta Del Cobre iron oxide Cu-Au (-Zn-Ag) deposits, Chile. *Economic Geology*, 96, 1799–1826.
 - Mason, B. and Moore, C. B., 1982. *Principle of Geochemistry*, John Wiley and Sons, 344.
 - Maynard, J. B., 1983. *Geochemistry of Sedimentary Ore Deposits*. Springer-Verlag, 305.
 - Mehrabi, B., Karimishahraki, B., Banks, D., Boyce, A. and Yardley, B.W.D., 2019. Hydrothermal iron oxide-Cu-Au (IOCG) mineralization at the Jalal-Abad deposit, northwestern Zarand, Iran. *Ore Geology Reviews*, 106, 300–317.
 - Middlemost, E.A.K., 1994. Naming materials in the magma/igneous rock system. *Earth-Science Reviews*, 37, 215–224.
 - Müller, D. and Groves, D.L., 1992. *Potassic Igneous Rocks and Associated Gold-Copper Mineralization*. Second Updated and Enlarged Edition Springer, 238.
 - Nyström, J.O. and Henriquez, F., 1994. Magmatic features of iron ores of the Kiruna-type in Chile and Sweden, *Ore textures and magnetite geochemistry*. *Economic Geology*, 89, 820–839.
 - Peccerillo, A. and Taylor, S.R., 1976. Geochemistry of Eocene calc-alkaline volcanic rocks from the Kastamonu area, Northern Turkey. *Contributions to Mineralogy and Petrology*, 58, 63–81.

- Rollinson, H. R., 1993. Using Geochemical Data: Evaluation, Presentation, Interpretation Longman Scientific and Technical, Oxford/John Wiley, New York, 261.
- Russel, M.J., Solomon, M. and Walse J.L., 1981. The genesis of sediment-hosted exhaustive Zinc-Lead deposits. Mineralium Deposita, 16, 113-127.
- Scholten, L., Schmidt, C., Lecumberri-Sanchez, P., Newville, M., Lanzirotti, A., Sirbescu, M.L.C. and Steele-MacInnis, M., 2019. Solubility and speciation of iron in hydrothermal fluids. Geochimica et Cosmochimica Acta, 252, 126-143.
- Siegel, F.R., 1979. Reviews of research on modern problems in geochemistry. International Association for Geochemistry and Cosmochemistry, Earth Sciences 16, Unesco.
- Ternet, Y., 1990. Explanatory text of the Taybad quadrangle map of 1/250,000. Geological Survey of Iran, Tehran, 200.
- Whitney, D. and Evans, B. D., 2010. Abbreviations for names of rock-forming minerals. American Mineralogist, 95, 1, 185-187.
- Xu Bao, S., Yang Zhou, H., Tong Peng, X., Wu Ji, F. and Qiang Yao, H., 2008. Geochemistry of REE and yttrium in hydrothermal fluids from the Endeavour segment, Juande Fuca Ridge. Geochemical Journal, 42, 4, 359-370.